

ارزیابی تنوع ژنتیکی ژنوتیپ‌های چغندرقند مقاوم و حساس به نماتد سیستی SSR با استفاده از نشانگرهای مولکولی *Heterodera schachtii*

پریناز عسکری نژاد^۱، جعفر وطن دوست^۲ و مهدی نصر اصفهانی^{۳*}

^۱ سبزوار، دانشگاه آزاد اسلامی واحد سبزوار، گروه بیوتکنولوژی کشاورزی

^۲ سبزوار، دانشگاه حکیم سبزواری، گروه زیست‌شناسی گیاه‌پژوهشی

^۳ اصفهان، مرکز تحقیقات و آموزش کشاورزی و منابع طبیعی استان اصفهان، سازمان تحقیقات، آموزش و ترویج کشاورزی، بخش تحقیقات

گیاه‌پژوهشی

تاریخ دریافت: ۹۴/۰۶/۰۴

تاریخ پذیرش: ۹۴/۰۶/۰۹

چکیده

چغندر قند با نام علمی *Beta vulgaris* L. گیاهی است دولپه و دوساله از خانواده اسفناجیان که اهمیت اقتصادی آن به دلیل خاصیت منحصر به فرد آن در تولید مقادیر بالای قند می‌باشد. نماتد سیستی چغندرقند مهم ترین بیماریهای چغندر قند در اراضی تحت کشت این محصول به شمار می‌آید. این مطالعه به منظور ارزیابی تنوع ژنتیکی ۲۰ ژنوتیپ چغندرقند مقاوم و حساس به نماتد سیستی، با استفاده از نشانگر مولکولی SSR انجام گردید. تکثیر قطعات ژنومی با استفاده از ۱۰ جفت آغازگر اختصاصی SSR انجام شد به طوری که از بین باندهای حاصل، ۴۹ باند چندشکل از ۷ جفت آغازگر منتخب به دست آمد. بیشترین محتوای اطلاعات چندشکلی و بیشترین مقدار شاخص نشانگر به ترتیب مربوط به جفت آغازگرهای REP و R114 به دست آمد. در این مطالعه بیشترین تشابه ژنتیکی بین دو ژنوتیپ متحمل و حساس به نماتد سیستی چغندرقند مشاهده شد. با توجه به نتایج به دست آمده می‌توان استنباط کرد که تنوع ژنتیکی ایجاد شده رابطه مستقیمی با مقاوم یا حساس بودن ژنوتیپها ندارد. در واقع مشخص گردید که ژنوتیپهای چغندرقند از نظر ژنتیکی بر اساس طیف‌های مختلف مقاومت، حساسیت و متحمل بودن به بیماری نماتد سیستی در گروههای مجزا قرار نگرفتند و همبستگی قابل توجهی را نشان ندادند.

واژه‌های کلیدی: چغندرقند، تنوع ژنتیکی، نشانگر SSR، نماتد سیستی

* نویسنده مسئول: تلفن: ۰۳۱۳۷۸۸۵۴۷۸، پست الکترونیکی: mne2011@gmail.com

مقدمه

نماتد مولد سیست چغندرقند با نام علمی *Heterodera schachtii*، مهم‌ترین عامل ایجاد بیماری در چغندرقند و یکی از زیانبارترین عوامل بیماری‌زایی در اراضی تحت کشت این محصول به شمار می‌رود. از نشانه‌های حمله این بیماری، ضعف، زردی، کاهش عملکرد و کاهش کیفیت محصول در چغندر قند است (۴). گیاهان آلوده، دارای ریشه اصلی کوتاه بوده و ریشه‌های فرعی متعددی همراه با سیسته‌های سفید رنگ بر روی ریشه‌های فرعی قابل

روزگار

نمایندگی نهاده اند. نماتد سیستی از این دلایل می‌توانند از این داروی ریشه‌ای را که در این داروی ریشه‌ای می‌باشد، بینند و در این داروی ریشه‌ای می‌توانند از آن در مزارع چغندر قند مشهد، بیرون از شهر مشهد، میاندوآب گزارش شد (۲). شناسایی مولکولی نماتدهای انگل گیاهی، به خصوص نماتدهای

(۱۵) و SSR (۵، ۷) استفاده شده است که برای شناسایی تعداد محدودی از جمعیت‌های گونه *H. Schachtii*، rDNA نواحی ITS ژن مورد استفاده قرار گرفته است.

از آنجایی که نشانگر ریز ماهواره یا توالی‌های ساده تکراری (SSR)، به علت توزیع فراوان خود در ژنوم و توان بالا در تجزیه و تحلیل، نشانگر انتخابی مناسب در ژنوم بسیاری از حیوانات و گیاهان می‌باشد، در این پژوهش برای بررسی تنوع ژنتیکی ژنتوتیپ‌های مختلف چغندر قند مقاوم و حساس به نماد سیستی و بررسی قرابت ژنتیکی ژنتوتیپ‌های مختلف چغندر قند با طیف‌های مختلف مقاومت در هر گروه و نیز چگونگی همبستگی ژنتوتیپ‌ها در طیف‌های مختلف از نشانگر SSR استفاده شد.

مواد و روشها

در این مطالعه ۲۰ نژادگان چغندر قند که از موسسه‌ی تحقیقات چغندر قند کرج تهیه شده بود، مورد بررسی قرار گرفت. این بذور از نظر جوانه زنی شامل انواع مونوژرم (تک جوانه‌ای) و مولتی ژرم (چند جوانه‌ای) بوده و از نظر نحوه تولید به ارقام تجاری، هیبرید، تلاقی‌های برادر خواهر ناتی و گرده افشار تقسیم می‌شوند. مشخصات ۲۰ ژنتوتیپ مورد آزمون در جدول ۱ آورده شده است.

استخراج DNA: بعد از کشت بذور در گلخانه و گذشت حدود یک ماه، از برگ‌های تازه و جوان جهت استخراج DNA استفاده شد. استخراج DNA بر اساس روش تغییر یافته روش استخراج CTAB انجام شد (۶) و کمیت و کیفیت DNA استخراج شده با دو روش اسپکتروفوتومتری و الکتروفورز ژل آگارز تعیین گردید.

تکثیر قطعات DNA: جهت انجام PCR و بررسی تنوع ژنتیکی ژنتوتیپ‌های مختلف چغندر قند مقاوم، متحمل و حساس به نماد سیستی از ۱۰ جفت آغازگر SSR استفاده

سیستی می‌تواند بر پایه روش‌های مبتنی بر PCR بسیار سریع‌تر و راحت‌تر از روش‌های دشوار و وقت‌گیر مورفلوژیکی باشد (۸، ۱۳). غالباً برای مبارزه با نماد سیستی، روش‌هایی مانند تناوب ۳ تا ۷ ساله با گیاهان غیر میزبان، ضدعفونی خاک با سموم شیمیایی ضد نماد، استفاده از گیاهان تله و استفاده از ارقام مقاوم چغندر قند توصیه شده است (۱۸۱۷). استفاده از ارقام مقاوم در مبارزه با آفات و بیماری‌های گیاهی و بالاخص نماد سیستی چغندر قند از روش‌هایی است که کمترین هزینه را برای کشاورز داشته و قابل اجرا در سطوح وسیع می‌باشد. این روش همچنین قادر اثرات سوء زیست محیطی با توجه به استانداردهای تولید محصولات می‌باشد. نکته قابل توجه در این بحث عدم مشاهده مقاومت به نماد در چغندر قندهای زراعی است، این در حالی است که در گونه‌های وحشی *B. procumbens*، *B. webbiana* و *B. pattelaris* مقاومت به صورت کامل و غالب و در گونه *B. maritima* به صورت مغلوب به ارث می‌رسد (۱۰).

لذا با توجه به اینکه روش‌های ارزیابی کلاسیک گرینش مقاومت به بیماری از نوع فنوتیپی و وابسته به شرایط محیطی و یکنواختی عامل آلوده کننده بوده و در فصل خاصی از سال انجام گرفته و نیز بعضی از گیاهان از عامل آلوده کننده به نحوی می‌گرینند و به ظاهر مقاوم تلقی می‌شوند، از این رو با استفاده از روش‌های مولکولی به عنوان روش تکمیلی یا جایگزین می‌توان گیاهان در بردارنده ژن مقاومت را در سطح ژنتوتیپی شناسایی نمود. نشانگرهای DNA می‌توانند ابزارهای مفیدی برای انتخاب ژنتوتیپ‌های مقاوم باشند و باعث صرفه‌جویی در زمان ارزیابی و افزایش دقت انتخاب گردند (۱۱، ۹).

در تحقیقات گذشته، ارزیابی مقاومت نژادگان چغندر قند نسبت به نماد سیستی و همچنین ارزیابی روابط ژنتیکی و تنوع ژنتیکی در داخل و بین ژنتوتیپ‌های چغندر قند از نشانگرهایی همچون ایزوزیم‌ها، RAPD و ISSR (۱۶)،

مورد بررسی با استفاده از آغازگرهای SSR تکثیر گردیدند. الکتروفورز محصولات PCR روی ژل آگارز ۳ درصد در بافر $0.5\times$ TAE و با ولتاژ ثابت ۹۰ به مدت ۱۲۰ دقیقه انجام شد. مشاهده و عکسبرداری ژل متأثر شده از رنگ GelRed در زیر نور UV به کمک دستگاه ژل نگار صورت گرفت.

جمع‌آوری داده‌ها: تصویر ژل های الکتروفورز حاصل از آغازگرهایی که باندهای چندشکل با وضوح مناسب تولید کرده بودند، به صورت دستی تجزیه شد. سپس به حضور یا عدم حضور یک باند در هر نمونه، با استفاده از اعداد صفر و یک امتیازدهی و در نهایت ماتریس داده‌ها در نرم‌افزار NTSYS-pc مورد تجزیه و تحلیل قرار گرفت.

شد که مشخصات آن‌ها در جدول ۲ قابل مشاهده است. واکنش زنجیره‌ای پلیمراز در حجم ۲۵ میکرولیتر شامل ۵۰ نانوگرم DNA، ۲ میکرولیتر آغازگر، ۱ میکرولیتر dNTP، ۰.۳ میکرولیتر کلرید منیزیم، ۰.۳ میکرولیتر تک دی ان آ پلیمراز، ۲/۵ میکرولیتر بافر PCR و ۱۶/۲ میکرولیتر آب دیونیزه بود. تکثیر در دستگاه ترموسایکلر شامل مراحل واسرتینگی مقدماتی به مدت ۵ دقیقه در ۹۵ درجه سانتی‌گراد، واسرتینگی به مدت ۱ دقیقه در ۹۵ درجه سانتی‌گراد، اتصال به مدت ۱ دقیقه که دمای اتصال با توجه به نوع پرایمر از ۴۰ تا ۶۰ درجه سانتی‌گراد متفاوت بود، گسترش به مدت ۱ دقیقه در ۷۲ درجه و گسترش نهایی به مدت ۸ دقیقه در ۷۲ درجه سانتی‌گراد بود. مراحل واسرتینگی تا گسترش ۳۵ مرتبه تکرار و در نهایت DNA ای ژنوتیپ‌ها

جدول ۱- مشخصات ژنوتیپ‌های مورد آزمون از نظر نحوه اصلاح، جوانه ژنی بذر و مقاومت به نماد

ردیف	شماره ژنوتیپ	نحوه اصلاح	جوانه ژنی	مقاومت به نماد
۱	۳	تلaci برادر خواهر ناتنی	مولتی ژرم	مقاوم
۲	۷	تلaci برادر و خواهر ناتنی	مولتی ژرم	متحمل
۳	۱۱	تلaci برادر و خواهر ناتنی	مولتی ژرم	متحمل
۴	۱۵	تلaci برادر و خواهر ناتنی	مولتی ژرم	متحمل
۵	۱۹	تلaci برادر و خواهر ناتنی	مولتی ژرم	حساس
۶	۲۱	تلaci برادر و خواهر ناتنی	مولتی ژرم	متحمل
۷	۲۵	تلaci برادر و خواهر ناتنی	مولتی ژرم	متحمل
۸	۲۹	هیبرید	مونوزرم	مقاوم
۹	۳۳	گرده افshan	مولتی ژرم	حساس
۱۰	۳۷	هیبرید	مونوزرم	متحمل
۱۱	۴۳	تلaci برادر و خواهر ناتنی	مولتی ژرم	حساس
۱۲	۴۷	تلaci برادر و خواهر ناتنی	مولتی ژرم	حساس
۱۳	۵۱	تلaci برادر و خواهر ناتنی	مولتی ژرم	حساس
۱۴	۵۵	واریته تجاری	مونوزرم	حساس
۱۵	۵۹	واریته تجاری	مونوزرم	متحمل
۱۶	۶۲	واریته تجاری	مونوزرم	حساس
۱۷	۶۳	واریته تجاری	مونوزرم	حساس
۱۸	۶۶	گرده افshan	مونوزرم	متحمل
۱۹	۷۰	گرده افshan	مولتی ژرم	حساس
۲۰	۳۵	گرده افshan	مولتی ژرم	حساس

جدول ۲- فهرست و مشخصات آغازگر های SSR

ردیف	نام آغازگر	توالی آغازگر	دماهی اتصال
۱	Unigene57236	5'-TTG GAG AGA GAA AAG AGA GAA G-3'	58.0
	Unigene57236	5'-ATC CCT TGA CAG TAG AAC TCC-3'	59.0
۲	Unigene77067	5'-CTT TAG TGT AGC GTT AGA GCG-3'	59.0
	Unigene77067	5'-TAA CAG CAG GAC TGG AGA AG-3'	58.0
۳	Unigene25611-F	5'-AGT TGG GGA AGA GAA A-3'	53.0
	Unigene25611-R	5'-CAC CAT ACT GAA CCT AAG A-3'	58.0
۴	Unigene11506-F	5'-GTA AAC TCG GGT AAT AAC AAG C-3'	58.0
	Unigene11506-R	5'-TAT AAG TCA TGC AGT CGA GCT A-3'	58.0
۵	Unigene17923-F	5'-AAC CTT CCC TCT GAT TTC T-3'	58.0
	Unigene17923-R	5'-GGA GAT ACA ACT TAC AAG AGC C-3'	60.0
۶	Unigene24552-F	5'-AAC ATC TCA CTC ATC CTT CTT C-3'	58.0
	Unigene24552-R	5'-ATG ATA GCA AAC GAC TAG CAG-3'	57.0
۷	Unigene22373-F	5'-AAA GGA AAC TAC CCC TAC ACT T-3'	58.0
	Unigene22373-R	5'-AAG AGA GAA AGA AGA CGA TGA G-3'	58.0
۸	Unigene17623-F	5'-ATT AGA CCT CAA TCT TCC AGC-3'	57.0
	Unigene17623-R	5'-AAT AAT GGC AAT CTA CCA GC-3'	54.0
۹	Unigene10114-F	5'-GCA AGT GGA GAA ATA TGT GAG-3'	58.0
	Unigene10114-R	5'-TAT GTG GTA GTG GTA CTG CTT-3'	60.0
۱۰	REP-F	5'-CGT AAG AGA CTA TGA-3'	41.0
	REP-R	5'-TGA ACA CCT TTC AAA-3'	40.0

۱۲). تجزیه مولفه‌های اصلی با استفاده از نرم‌افزار NTSYS به منظور بررسی نحوه پراکنش نشانگرها در سطح ژن گیاه انجام شد.

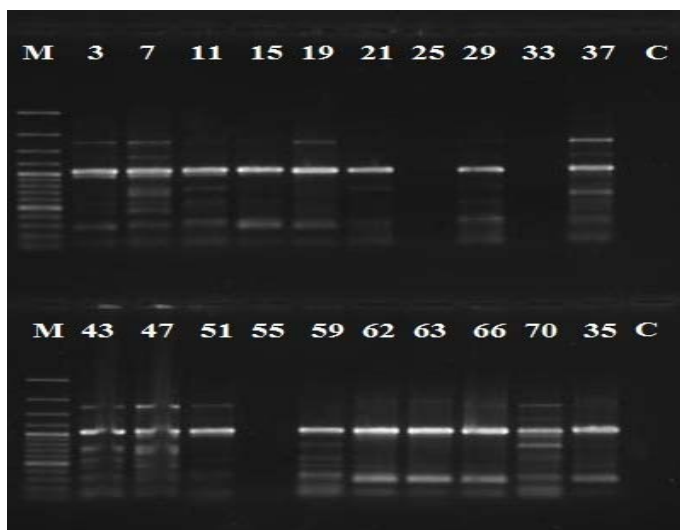
نتایج

مقاومت نژادگان چندرقند مورد مطالعه نسبت به نماتد سیستی با استفاده از شاخص تخم و لارو، در شرایط گلخانه‌ای ارزیابی شد و ژنوتیپ‌ها در سه گروه مقاوم، متتحمل و حساس طبقه بندی شدند. از ۲۰ ژنوتیپ مورد مطالعه، ۲ ژنوتیپ مقاوم، ۸ ژنوتیپ متتحمل و ۱۰ ژنوتیپ حساس ارزیابی شدند (جدول ۱).

واکنش PCR با استفاده از ۱۰ جفت آغازگر SSR بر روی ۲۰ نژادگان مورد مطالعه، انجام گرفت که از میان آغازگرها، ۳ جفت آغازگر 17623-R-F، 17623-R-F و 24552-R-F، ۷ موفق به تولید هیچ باندی نشدند. این در حالی است که ۴۹ قطعه چندشکل تولید جفت آغازگر SSR در مجموع

در این پژوهش برای محاسبه ضریب تشابه از سه روش محاسبه دایس با فرمول $S_{ij} = \frac{2a}{2a+b+c}$ ، جاکارد با فرمول $S_{ij} = \frac{a}{a+b+c}$ و تشابه مقابله ساده با فرمول $S_{ij} = \frac{a+b}{a+b+c+d}$ استفاده شد. که در این روابط a، تک شکلی حاصل از حضور باند، b و c جایگاه‌های ژنی چند شکل و d جایگاه ژنی تک شکل حاصل از باند صفر می‌باشد. همچنین با استفاده از تجزیه خوشه‌ای و دندروگرام بدست آمده، ماتریس ضرایب کوفتیک برآورد شد. سپس با نرم‌افزار NTSYS همبستگی بین این ماتریس و ماتریس تشابه اولیه محاسبه گردید. در این مطالعه نسبت چندشکلی نشانگرها با استفاده از فرمول $P = \frac{n_{pj}}{n_{total}}$ و پارامتر محتوا اطلاعات چندشکلی (PIC) با استفاده از فرمول $PIC = 1 - \sum_{i=1}^n p_i^2$ محاسبه شد که در این روابط P_i و Z_i به ترتیب فراوانی آلل‌های i و j در یک جایگاه ریز ماهواره می‌باشد (۱۴). شاخص نشانگر (MI) از رابطه $MI = PIC.N.\beta$ به دست آمد (۳).

نمودند که تقریباً ۸۴/۵ درصد از کل ۵۸ آلل تولید شده را شامل گردید. تمامی باندها باوضوح مناسب در محدوده ۱۵۰ تا ۳۰۰۰ جفت باز امتیازدهی شدند (شکل ۱).



شکل ۱- الگوی باندی حاصل از الکتروفورز DNA های تکثیر شده ۲۰ ژنوتیپ چندرقد مقاوم و حساس به نماتد سیستی با جفت آغازگر REP در ژل آگارز ۳ درصد، M: مارکر وزن مولکولی ۱Kb ، C: کنترل منفی. اعداد اسامی ژنوتیپ‌ها می‌باشد.

کمترین PIC مربوط به جفت آغازگر ۲۲۳۷۳ (۰/۵۸) بود. در این پژوهش بیشترین مقدار شاخص نشانگر مربوط به جفت آغازگرهای REP (۸/۴۶) و ۱۰۱۱۴ (۷/۶۵) و کمترین مقدار آن مربوط به جفت آغازگر ۲۲۳۷۳ (۱/۱۶) بود (جدول ۳).

شاخص های تغییرات آللی: تعداد آلل های چندشکل در هر جایگاه زنی از ۲ تا ۹ باند متغیر بود. حداقل این مقدار مربوط به آغازگر ۲۲۳۷۳ (۲ آلل) و حداکثر آن مربوط به آغازگرهای ۷۷۰۶۷، ۱۰۱۱۴، ۲۵۶۱۱ و REP (۹ آلل) می باشد. بیشترین محتوا اطلاعات چندشکلی (PIC) مربوط به جفت آغازگرهای REP (۰/۹۴) و ۱۰۱۱۴ (۰/۸۵) و

جدول ۳- تعداد باندها و میزان اطلاعات چندشکلی جفت آغازگرهای SSR

ردیف	نام جفت آغازگر	تعداد آلل ها	باندهای چندشکل	درصد چند شکلی	محتوا اطلاعات چندشکلی (PIC)	شاخص نشانگر(MI)
۱	77067	۱۱	۹	%۸۱/۸	۰/۸۲	۷/۳۸
۲	57236	۷	۷	%۱۰۰	۰/۷۴	۵/۱۸
۳	REP	۹	۹	%۱۰۰	۰/۹۴	۸/۴۶
۴	11506	۸	۵	%۶۲/۵	۰/۶۶	۳/۳
۵	22373	۴	۲	%۵۰	۰/۵۸	۱/۱۶
۶	10114	۹	۹	%۱۰۰	۰/۸۵	۷/۶۵
۷	25611	۱۰	۹	%۹۰	۰/۷۳	۶/۵۷
مجموع		۵۸	۴۹	-	۵/۳۲	۳۹/۷
میانگین		۸/۲۸	۷	%۸۴/۵	۰/۷۶	۵/۶۷

جدول ۴- مقایسه ضرایب همبستگی کوفتیک در روش‌های مختلف رسم کلاستر

الگوریتم	روش		
	دایس	جاکارد	ساده
UPGMA	۸۸/۵	۸۷/۹	۸۰/۶
UPGMC	۲۲/۲	۳۰	۲۷
Complete	۷۷/۷	۸۱/۳	۷۷/۵

جدول ۵- مقادیر ویژه، حاصل از تجزیه مؤلفه‌های اصلی براساس نشانگرهای SSR

مولفه اصلی	مقادیر ویژه	درصد واریانس	واریانس تجمعی
مولفه اول	۱/۹۵	۳۱/۹۰	۳۱/۹۰
مولفه دوم	۱/۳۲	۱۵/۰۵	۴۶/۹۵
مولفه سوم	۱/۰۱	۱۰/۰۸	۵۷/۰۳

های متحمل (۷، ۱۱، ۱۵، ۲۱ و ۳۷) به نماد سیستی چندرقند بود. ژنتوتیپ متصل (۲۵) و دو ژنتوتیپ حساس (۳۳ و ۵۵) با ۰/۹۰ درصد تشابه در گروه چهارم (IV) قرار گرفتند. در گروه دوم (II) ژنتوتیپ‌های حساس (۷۰، ۳۵) و ژنتوتیپ متتحمل (۶۶) قرار داشتند که هر سه ژنتوتیپ دارای بذر مؤلفی ژرم بودند و طی گردافشانی حاصل شده بودند. در گروه اول دنдрوگرام (I) ژنتوتیپ‌های حساس (۶۲ و ۶۳) و یک ژنتوتیپ متتحمل (۵۹) به نماد سیستی چندرقند قرار گرفتند که هر سه ژنتوتیپ بذر مونوژرم و واریته تجاری بودند.

به منظور تعیین نحوه پراکنش نشانگرهای SSR در چندرقند، آزمون تجزیه به مؤلفه‌های اصلی انجام گرفت. بطوریکه سه مؤلفه اول ۵۷/۰۳ درصد از کل تغییرات را بین ۲۰ ژنتوتیپ چندرقند توجیه نمودند که سهم مؤلفه اول به تنها ۳۱/۹ درصد، مؤلفه دوم ۱۵/۰۵ درصد و مؤلفه سوم ۱۰/۰۸ درصد از کل تغییرات را توجیه می‌کند. نتایج تجزیه مؤلفه‌های اصلی شامل مقادیر ویژه و نسبت واریانس مورد انتظار توسط سه مؤلفه اول برای هر جفت آغازگر در جدول ۵ آمده است.

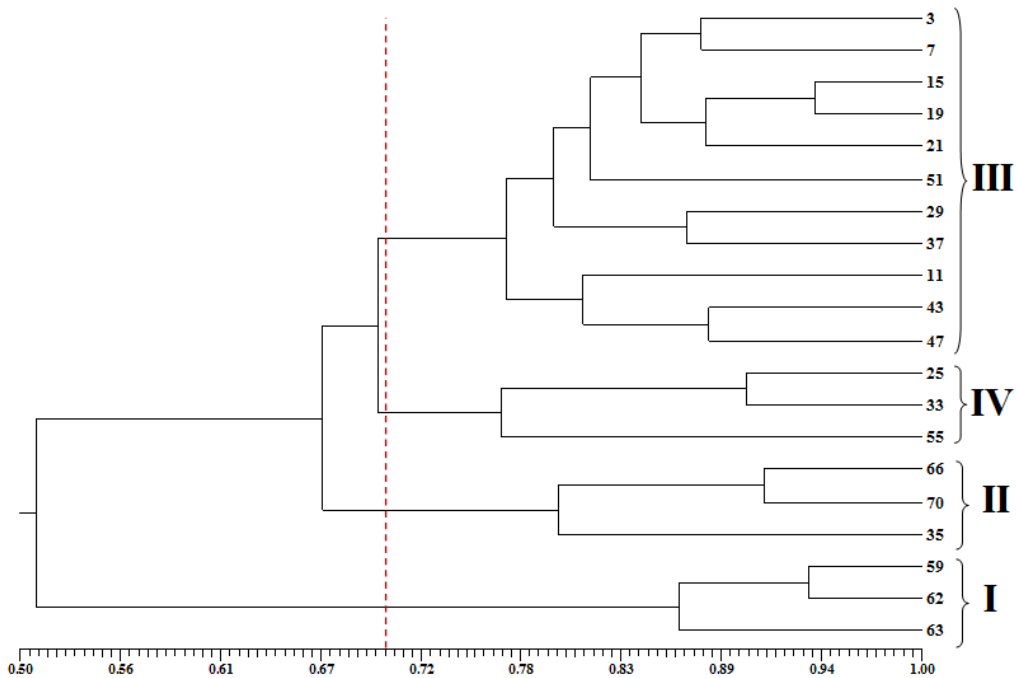
در این مطالعه نحوه گروه‌بندی تجزیه مؤلفه‌های اصلی (PCoA) با گروه‌بندی حاصل از تجزیه خوش‌های کاملاً

تجزیه خوش‌های: به منظور گروه‌بندی ژنتوتیپ‌ها براساس فواصل ژنتیکی، تجزیه خوش‌های به روش UPGMA و با استفاده از ماتریس تشابه دایس انجام گرفت. در واقع با توجه به اینکه در مقایسه ضرایب همبستگی، مقدار ضریب همبستگی مربوط به روش دایس از دیگر روش‌ها بالاتر بدست آمد و همچنین اطباق بالاتری بین تفکیک ژنتوتیپ برای گروه‌بندی توده‌ها با استفاده از ضریب تشابه دایس و الگوریتم UPGMA انجام گرفت (جدول ۴). بطوریکه ۲۰ ژنتوتیپ چندرقند مقاوم و حساس به نماد سیستی در ضریب تشابه ۰/۷۰ به چهار زیرگروه تقسیم‌بندی شدند. ضریب همبستگی کوفتیک براساس ضریب تشابه دایس، ۰/۸۸۵ و با توجه به آزمون مانتل در سطح ۱ درصد معنی دار به دست آمد (شکل ۲).

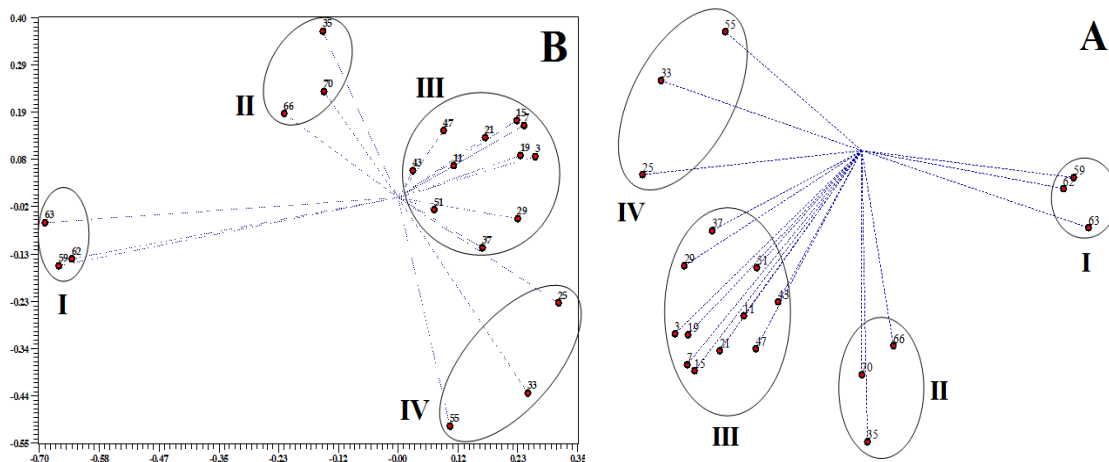
در این مطالعه جهت تفکیک و گروه‌بندی نمودار خوش‌های، مکان خط برش با استفاده از روش جذرگیری و میانگین ماتریس تشابه دایس بر روی محور فاصله مشخص گردید. بر این اساس خط برش نمودار خوش‌های را در فاصله ۰/۷۱، به ۴ زیر گروه مجذأ تقسیم کرد. بطوریکه گروه سوم دندروگرام (III) بیشترین تعداد ژنتوتیپ چندرقند را در خود جای داد که خود شامل تمام ژنتوتیپ‌های مقاوم (۳ و ۲۹)، ژنتوتیپ‌های حساس (۴۳، ۴۷، ۱۹ و ۵۱) و ژنتوتیپ-

نمودار حاصل از تجزیه مؤلفه‌های اصلی نیز هر دو ژنوتیپ در گروه‌های جداگانه‌ای قرار گرفتند. این در حالی است که ژنوتیپ ۱۵ (متحمل) با ۹۴ درصد تشابه فاصله ژنتیکی کمی با ژنوتیپ ۱۹ (حساس) کمترین فاصله ژنتیکی را داشتند. (شکل ۳).

مطابقت داشت. بطوریکه تعداد زیرگروه‌های به دست آمده در گروه‌بندی تجزیه مؤلفه‌های اصلی با زیرگروه‌های حاصل از تجزیه خوش‌ای مشابهت کامل دارد. نتایج بدست آمده نشان داد که بیشترین فاصله ژنتیکی بین دو ژنوتیپ ۲۵ (متحمل به نماتد) و ۶۳ (حساس به نماتد) با ۳۳ درصد تشابه مشاهده شد. در گروه‌بندی خوش‌ای و



شکل ۲- دندرограм حاصل از پلی‌مورفیسم ۲۰ ژنوتیپ چوندرقد مقاوم و حساس به نماتد سیستمی با جفت آغازگرهای SSR



شکل ۳- نمودار سه بعدی (A) و دو بعدی (B) داده‌های حاصل از تجزیه مؤلفه‌های اصلی براساس ماتریس تشابه دایس برای ۲۰ ژنوتیپ چوندرقد مقاوم و حساس به نماتد سیستمی

بحث

تعداد آلل های مشاهده شده در هر مکان ژنی در این مطالعه می تواند بیانگر تنوع بالاتر توده های استفاده شده باشد. همچنین PIC بالاتر در این مطالعه، بیانگر قدرت تمایز بیشتر نشانگرهای SSR استفاده شده در این مطالعه است. با توجه به اینکه جفت آغازگرهای REP و 10114 دارای بیشترین محتوای اطلاعات چندشکلی و شاخص نشانگر بودند، علاوه بر آن چندشکلی بسیار بالایی (۱۰۰ درصد) نشان دادند، بنابراین می توان آنها را به عنوان جفت آغازگرهای مفید و کارآمد برای بررسی تنوع ژنتیکی ژنتوتیپ‌های چغناور قند مقاوم و حساس به نماد سیستی معرفی و انتخاب کرد.

از طرفی بر اساس آزمون تجزیه مولفه‌های دو مولفه اول ۴۶/۹۵ درصد از کل تغییرات را بین ۲۰ ژنتوتیپ چغناور قند توجیه نمودند. توجیه بخش کمتری از تغییرات توسط چند مولفه اول، دلیل بر توزیع مناسب جفت آغازگرهای بکار رفته بر روی ژنوم می‌باشد و بیان می کند که آغازگرها در یک قسمت ژنوم متتمرکز نشده‌اند.

همچنین نتایج این مطالعه بیانگر تنوع ژنتیکی قبل ملاحظه بین ژنتوتیپ‌ها بود ولی با توجه به نتایج بدست آمده از دندروگرام ژنتوتیپ‌ها می‌توان استباط کرد که تنوع ژنتیکی ایجاد شده رابطه مستقیمی با مقاوم یا حساس بودن ژنتوتیپ‌ها ندارد. در واقع با توجه به بررسی‌های انجام شده در خصوص وجود تنوع ژنتیکی ژنتوتیپ‌های مختلف چغناور قند با نشانگر SSR مشخص گردید که ژنتوتیپ‌های چغناور قند از نظر ژنتیکی بر اساس طیف‌های مختلف مقاومت، حساسیت و متتحمل بودن به بیماری نماد سیستی در گروه‌های مجزا قرار نگرفتند و همبستگی قابل توجهی را نشان ندادند. مقاوم یا حساس بودن گیاه چغناور قند می تواند تحت تأثیر یک و یا چند ژن خاص باشد که لزوماً وجود یا عدم وجود این ژن‌ها باعث تشابه ژنتیکی و یا عدم تشابه ژنتوتیپ‌ها با یکدیگر نمی‌شود.

نتایج بدست آمده از این تحقیق نشان داد که نشانگرهای SSR به خوبی در سطح ژنوم پراکنده شده اند و کارایی مناسبی در ارزیابی تنوع ژنتوتیپ‌های چغناور قند مقاوم و حساس به نماد سیستی دارند. تولید تعداد باند زیاد و میزان چندشکلی بالا در ژنتوتیپ‌های مورد مطالعه نشان دهنده کارایی بالای نشانگرهای SSR در ارزیابی تنوع ژنتیکی در ژنتوتیپ‌های چغناور قند مقاوم و حساس به نماد سیستی بود.

در این مطالعه هفت نشانگر SSR توانستند ۵۸ آلل با دامنه ۴ تا ۱۱ آلل در هر مکان ژنی را شناسایی کنند که متوسط تعداد باند چندشکلی به ازای هر جفت آغازگر ۷ باند بود. در این تحقیق محتوای اطلاعات چندشکلی (PIC) برای PIC هر جفت آغازگر SSR نیز محاسبه شد. بیشترین PIC مربوط به جفت آغازگرهای REP و 10114-R-F به ترتیب ۰/۹۴ و ۰/۸۵ و کمترین PIC مربوط به جفت آغازگر 22373-R-F با مقدار ۰/۵۸ بود. میانگین PIC برای کل جفت آغازگرها بالا (۰/۷۶) بود. عباسی و همکاران (۱) در مطالعه خود بر روی تنوع ژنتیکی ۱۶۸ ژنتوتیپ چغناور قند با استفاده از ۱۸ نشانگر SSR گزارش کردند که دامنه تعداد آلل به ازای هر جفت آغازگر ۱۰-۲ و متوسط آن ۵/۷ آلل بود. همچنین دامنه PIC از ۰/۳۶ تا ۰/۸۳ متفاوت و میانگین ۰/۶۴ PIC بود. در تحقیق اسمولدر و همکاران (۱۵) بر روی بررسی خصوصیات واریته‌های چغناور قند با ۲۵ نشانگر ریزماهواره تعداد آلل‌ها از ۳ تا ۲۱ آلل متغیر بود و واریته‌ها تا حدود ۷ آلل مختلف را در یک مکان ژن برای هر نشانگر نشان دادند.

هر چه عدد متوسط تعداد قطعه چندشکل و محتوای اطلاعات چندشکلی به ازای هر جفت آغازگر بیشتر باشد کارایی آن نشانگر در گیاه مورد مطالعه بالاتر است و نمایانگر قدرت تمایز بیشتر نشانگر می‌باشد. بیشتر بودن

منابع

- 1- Abbasi, Z., Arzani, A., and Majidi, M. M. 2014. Study of adaptability and stability of sugar beet monogerm cultivars in different locations of IRAN. Sugar beet, 24(2), 1-11.
- 2- Akhyani, A., Damadzadeh, M., and Ahmadi, A.R. 2000. Distribution and infestation rate of *Heterodera schachtii* in sugarbeet fields of Esfahan province. Sugar beet, 68(1), 137-142.
- 3- Anderson, JA, Churchill, GA, Autrique, JE, Tanksley, SD, and Sorrells, ME. 1993. Optimizing parental selection for genetic linkage maps. Genome, 36(1), 181-186.
- 4- Behdad, E. 2006. Phytopathology And Important Plant Disease. Iran. Tehran: Atr-e-Erat Publication.
- 5- Desplanque, B, Boudry, P, Broomburg, K, Saumitou-Laprade, P, Cuguen, J, and Van Dijk, H. 1999. Genetic diversity and gene flow between wild, cultivated and weedy forms of *Beta vulgaris* assessed by RFLP and microsatellite markers. Theoretical and Applied Genetics, 98(8), 1194-1201.
- 6- Ganesh, CT, Gowda, RV, Narayanaswamy, P, Gowda, PHR, Keshavachandran, R, Nazeem, P, . . . Peter, KV. (2007). Development of protocols for DNA extraction and amplification in onion (*Allium cepa L.*) for RAPD analysis. Paper presented at the Recent trends in horticultural biotechnology, Vol. II. ICAR national symposium on biotechnological interventions for improvement of horticultural crops: issues and strategies, Vellanikkara, Kerala, India, 10-12 January, 2005.
- 7- Laurent, V, Devaux, P, Thiel, T, Viard, F, Mielordt, S, Touzet, P, and Quillet, MC. 2007. Comparative effectiveness of sugar beet microsatellite markers isolated from genomic libraries and GenBank ESTs to map the sugar beet genome. Theoretical and applied genetics, 115(6), 793-805.
- 8- Maafi, Zahra Tanha, Subbotin, Sergei A, and Moens, Maurice. 2003. Molecular identification of cyst-forming nematodes (Heteroderidae) from Iran and a phylogeny based on ITS-rDNA sequences. Nematology, 5(1), 99-111.
- 9- Mahuku, George S. 2004. A simple extraction method suitable for PCR-based analysis of plant, fungal, and bacterial DNA. Plant Molecular Biology Reporter, 22(1), 71-81.
- 10- Müller, Joachim. 1998. New pathotypes of the beet cyst nematode (*Heterodera schachtii*) differentiated on alien genes for resistance in beet (*Beta vulgaris*). Fundamental and applied nematology, 21(5), 519-526.
- 11- Norouzi, P. 2003. The Simple and effective method for Genomic DNA extraction from plant an Fungus for PCR-based analyses. Sugar beet, 19(2), 175-176.
- 12- Powell, Wayne, Morgante, Michele, Andre, Chaz, Hanafey, Michael, Vogel, Julie, Tingey, Scott, and Rafalski, Antoni. 1996. The comparison of RFLP, RAPD, AFLP and SSR (microsatellite) markers for germplasm analysis. Molecular breeding, 2(3), 225-238.
- 13- Powers, Thomas O, Todd, TC, Burnell, AM, Murray, PCB, Fleming, CC, Szalanski, Allen L, . . . Harris, TS. 1997. The rDNA internal transcribed spacer region as a taxonomic marker for nematodes. Journal of Nematology, 29(4), 441.
- 14- Prasad, M, Varshney, RK, Roy, JK, Balyan, HS, and Gupta, PK. 2000. The use of microsatellites for detecting DNA polymorphism, genotype identification and genetic diversity in wheat. Theoretical and Applied Genetics, 100(3-4), 584-592.
- 15- Smulders, MJM, Bredemeijer, G, Russ-Kortekaas, W, Arens, P, and Vosman, B. 1997. Use of short microsatellites from database sequences to generate polymorphisms among *Lycopersicon esculentum* cultivars and accessions of other *Lycopersicon* species. Theoretical and Applied Genetics, 94(2), 264-272.
- 16- Srivastava, Sangeeta, Gupta, Prashant S, Saxena, Vimal Kumar, and Srivastava, Hari Mohan. 2007. Genetic diversity analysis in sugarbeet (*Beta vulgaris L.*) using isozymes, RAPD and ISSR markers. Cytologia, 72(3), 265-274.
- 17- Whitney, ED, and Duffus, James E. 1986. Compendium of beet diseases and insects (Vol. 76). St. Paul Minnesota: APS press.
- 18- Zhang, C-L, Xu, D-C, Jiang, X-C, Zhou, Y, Cui, J, Zhang, C-X, . . . Scott, Nigel W. 2008. Genetic approaches to sustainable pest management in sugar beet (*Beta vulgaris*). Annals of Applied Biology, 152(2), 143-156.

Assessment of Genetic Diversity among Resistant and Susceptible Sugar Beet Genotypes to Cyst Nematod using SSR molecular markers

Askarinejad P.¹, Vatandoost J.² and Nasr M.³

¹ Biotechnology Dept., Faculty of Agriculture, Islamic Azad University, Sabzevar, I.R. of Iran

² Biology Dept., Hakim Sabzevari University, Sabzevar, I.R. of Iran

³ Isfahan Agricultural and Natural Resources Research Center, (AREEO), Plant Pest and Diseases Research Institute, Isfahan, I.R. of Iran

Abstract

Sugar beet (*Beta vulgaris* L.) is a dicotyledonous and two years plant from Chenopodiceae family and its economic importance is due to unique ability to produce high amounts of sugar. Sugar beet cyst nematode is the most important disease in the area under cultivation of this product. So this study was performed to assess the genetic diversity of 20 genotypes resistant and susceptible nematode using SSR markers. Following DNA extraction, PCR amplification was performed using 10 pairs of SSR primers and 49 polymorphic bands were selected from 7 pairs. The highest of Polymorphism Information Content (PIC) and highest Marker Index (MI) related to REP primer pairs and 10114 respectively. Cluster analysis using NTSYS software with UPGMA method based on Dice's similarity matrix divided genotypes into 4 clusters. The highest genetic similarity between tolerant and susceptible sugar beet cyst nematode was found. According to the results, it can be concluded that genetic variation does not have a direct relationship with resistant or sensitive genotypes. In fact, it was found that genotypes of sugar beet based resistance spectrum, sensitivity and tolerance to nematode disease were not in separate groups and a significant correlation was not observed.

Key words: *Beta vulgaris*, Genetic Diversity, SSR Marker, Cyst Nematod